

# 引导滤波

Dezeming Family

2023 年 2 月 6 日

DezemingFamily 系列文章和电子书全部都有免费公开的电子版，可以很方便地进行修改和重新发布。如果您获得了 DezemingFamily 的系列电子书，可以从我们的网站 [<https://dezeming.top/>] 找到最新的版本。对文章的内容建议和出现的错误也欢迎在网站留言。

## 目录

一 基本介绍	1
二 算法流程	1
三 当 $I = p$ 时的保边平滑效果	2
四 滤波核的保边性	2
五 引导滤波的保梯度性	2
六 与 Matting Laplacian Matrix 之间的关系	3
七 扩展到 RGB 空间	3
八 算法流程与代码实现	4
参考文献	4

## 一 基本介绍

引导滤波 (Guided image filtering) 是 Kaiming He 博士的经典之作, 也成为了 OpenCV3 和 Matlab2014 的内置算法。该算法不但可以进行保边平滑去噪, 还能够用于去雾, 抠图, HDR 压缩, 细节增强, 联合上采样 (noise reduction, detail smoothing/enhancement, HDR compression, image matting/feathering, haze removal, and joint upsampling) 等多种功能。网上讲解引导滤波的通俗简化的文章有很多了, 本文会根据论文 [1] 来介绍它的基本原理, 会损失一些通俗性。我们还会在其他文章中介绍各种引导滤波器的变体。

有许多线性平移不变滤波器 (linear translation-invariant (LTI) filters), 比如 Gaussian filter, Laplacian filter 和 Sobel filter, 用于图像模糊/平滑、边缘检测以及特征提取 (feature extraction)。LTI 滤波器的核是空间不变的, 与图像内容无关, 但有些时候我们可能希望将另一幅图像 (引导图) 的内容集成到当前图像, 有两大类方式可以实现: (1) 通过约束求解方法可以实现, 并广泛用于黑白着色、图像泊松融合等领域; (2) 通过双边滤波方法。

双边滤波器会出现梯度反转伪影 (gradient reversal artifacts)。注意直接对图像做双边滤波是不会出现图像梯度反转的, 但是当使用另一张图作为引导图时, 双边滤波会在图像边缘区域出现一条更明显的边, 具体可以参考论文原文的 Fig.4、Fig.6 和 Fig.8。

最优化方法也是一种图像滤波技术, 通过使用一个二次损失函数 (quadratic cost function) 求解线性系统, 等同于通过一个逆矩阵来滤波一幅图像。但是最优化滤波器求解需要不少时间, 有些人发现最优化滤波可以用其他显式滤波器来近似, 更容易实现, 速度也更快。

本文 [1] 中提出了一种新的方法叫做引导滤波器, 滤波器输出是引导图的线性变换。它不但可以有效保边平滑, 还可以避免双边滤波器中的梯度反转伪影。注意它也与 matting Laplacian matrix (可以参考 Kaiming He 博士的暗通道去雾算法) 有关, 因此也可以用在其他领域, 而不仅仅只是用来平滑图像噪声。

## 二 算法流程

先把论文公式贴一下:

$$q_i = \sum_j W_{ij}(I) p_j, \quad (1)$$

$$W_{ij}^{\text{bf}}(I) = \frac{1}{K_i} \exp\left(-\frac{|\mathbf{x}_i - \mathbf{x}_j|^2}{\sigma_s^2}\right) \exp\left(-\frac{|I_i - I_j|^2}{\sigma_r^2}\right). \quad (2)$$

$$q_i = a_k I_i + b_k, \forall i \in \omega_k, \quad (3)$$

$$E(a_k, b_k) = \sum_{i \in \omega_k} ((a_k I_i + b_k - p_i)^2 + \epsilon a_k^2). \quad (4)$$

$$a_k = \frac{\frac{1}{|\omega|} \sum_{i \in \omega_k} I_i p_i - \mu_k \bar{p}_k}{\sigma_k^2 + \epsilon} \quad (5)$$

$$b_k = \bar{p}_k - a_k \mu_k. \quad (6) \quad \bar{p}_k = \frac{1}{|\omega|} \sum_{i \in \omega_k} p_i$$

$$q_i = \frac{1}{|\omega|} \sum_{k: i \in \omega_k} (a_k I_i + b_k) \quad (7)$$

$$= \bar{a}_i I_i + \bar{b}_i \quad (8) \quad \begin{cases} \bar{b}_i = \frac{1}{|\omega|} \sum_{k \in \omega_i} b_k \\ \bar{a}_i = \frac{1}{|\omega|} \sum_{k \in \omega_i} a_k \end{cases}$$

$$a_k = \sum_j A_{kj}(I) p_j \quad b_k = \sum_j B_{kj}(I) p_j$$

$$q_i = \sum_j W_{ij}(I) p_j \quad \sum_j W_{ij}(I) = 1$$

$$W_{ij}(I) = \frac{1}{|\omega|^2} \sum_{k: (i,j) \in \omega_k} \left(1 + \frac{(I_i - \mu_k)(I_j - \mu_k)}{\sigma_k^2 + \epsilon}\right). \quad (9)$$

对于一个引导图  $I$  和输入图像  $p$  以及输出图像  $q$ , 设像素  $i$  周围像素的滤波结果为公式 (1)。

$W_{i,j}$  是引导图  $I$  的函数, 与  $p$  无关。对于联合双边滤波,  $W_{i,j}$  可以写为公式 (2) 的形式。当引导图和原图相同时, 则公式 (2) 从联合双边滤波退化为原始的双边滤波方法 (权重同时考虑临近像素的距离和临近像素颜色)。

对于引导滤波, 假设引导滤波器是引导图  $I$  和滤波器输出结果  $q$  之间的局部线性模型。设中心在像素  $k$  的窗  $\omega_k$ , 假设  $q$  是  $I$  在窗  $\omega_k$  内的线性变换, 见公式 (3)。 $(a_k, b_k)$  是在  $\omega_k$  内的常量线性系数, 我们使用半径为  $r$  的方窗。该局部线性模型由于  $\nabla q = a \nabla I$ , 所以当  $I$  有一个边时,  $q$  也会有一个边。

我们求解公式 (3) 的系数, 以最小化  $q$  和  $p$  的差别, 即公式 (4)。这里的  $\epsilon$  是一个正则化参数, 避免  $a_k$  太大 (后面会描述其重要性)。我们可以看到, 公式 (4) 的损失值的计算包含了一个窗内的全部像素。仅思考一个窗口, 则输出结果与引导图是成正比的, 损失值的意义更像是一种能量约束, 比如如果引导图的像素值都是好几百, 输入图像值  $p_i$  都是小于 1 的数, 使用约束项就可以使得输出图像的能量更接近于输入图像。

其解可以用线性回归得到，见公式 (5) 和 (6)。这里的  $\mu_k$  和  $\sigma_k^2$  表示  $\omega_k$  内的均值和方差， $\bar{p}_k$  是  $p$  在窗  $\omega_k$  内的均值。

当把线性模型扩展到整个图像上时，注意一个像素  $i$  会出现在多个窗内，在这多个窗中计算的结果很可能是不同的，一个方案是取平均，即公式 (7) 和 (8)。

由于线性系数  $(\bar{a}_i, \bar{b}_i)$  在空间上是变化的，此时  $\nabla q$  就不再是  $\text{nabla}I$  的放缩。不过由于  $(\bar{a}_i, \bar{b}_i)$  是平均滤波器的输出，在很强的边缘区域， $(\bar{a}_i, \bar{b}_i)$  的梯度会比  $I$  的梯度小得多（这里的梯度表示“变化率”，意味着各个窗的  $(\bar{a}_i, \bar{b}_i)$  值几乎相同，下面有蓝字解释），因此也能得到  $\nabla q \approx \bar{a}\nabla I$ ，即  $I$  中的数据值突变（梯度较大的位置）可以大部分被保留在  $q$  中。

解释一下上面的内容，比如只考虑两个窗  $\omega_j$  和  $\omega_l$ ，它们叠加的区域中的某个像素  $i$ ， $q_i = \frac{1}{2}(a_j + a_l)I_i + \frac{1}{2}(b_j + b_l)$ 。前面说过，每个窗口计算的系数  $(a_k, b_k)$  更像是一种能量约束，注意  $a_k$  的计算，如果  $I$  在两个窗叠加的区域中有一条强边，那么这条边会使得参数  $(\bar{a}_i, \bar{b}_i)$  在多个窗口中都会有类似的值。

经过改写成权重和的形式，可以得到公式 (9) 的形式。经过进一步计算可以发现权重和满足相加为 1，因此不用再归一化。

### 三 当 $I = p$ 时的保边平滑效果

假设  $I = p$ ， $\epsilon = 0$ ，则公式 (4) 的解就是  $a_k = 1, b_k = 0$ ：

$$q_i = p_i \quad (三.1)$$

如果  $I = p$ ， $\epsilon > 0$ ，则考虑两种情况：(1) 当  $I$  在窗口内是常量，则  $a_k = 0, b_k = \bar{p}_k$ ；(2) 当  $I$  方差比较高，那么  $a_k$  趋近于 1，而  $b_k$  趋近于 0：

$$\text{case}(1) : q_i \approx \bar{p}_k \quad (三.2)$$

$$\text{case}(2) : q_i \approx p_i \quad (三.3)$$

当结合公式 (8) 的平均以后，如果像素在高方差区域的中心，那么该值不变（把一堆值接近为 1 的  $a_k$  取平均，值仍然接近于 1），如果在较为平坦的区域，该值就会变为临近像素值的平均。 $\epsilon$  用来评判一个区域是平滑的还是高方差的，当一个区域的方差小于  $\epsilon$  就会被平滑掉，一个区域的方差大于  $\epsilon$  就会被保留。注意这里的  $\epsilon$  和双边滤波中的方差起到了同样的效果。

边缘区域以及高细节区域的方差都会很大，因此引导滤波是保边平滑的。

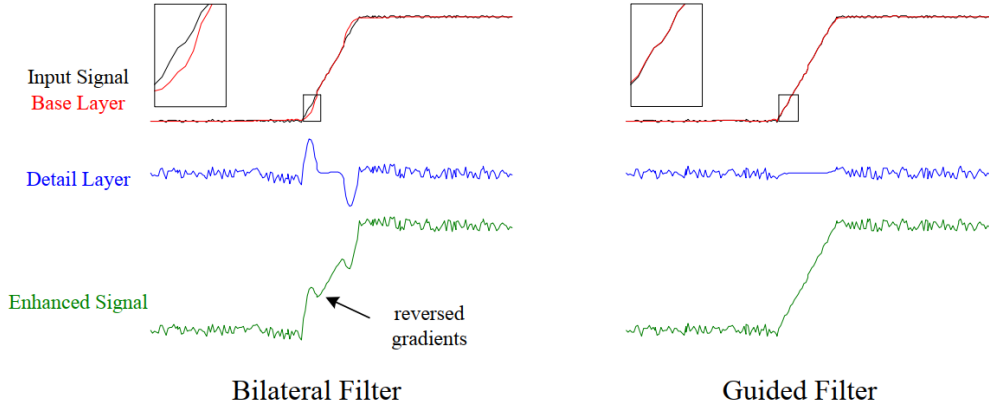
### 四 滤波核的保边性

假设在一个窗口中，引导图的中心像素值为  $I_i$ ，邻域有  $I_j, I_l$ 。假设该窗口的均值是  $\mu_k$ ，且  $I_j < \mu_k < I_i \approx I_l$  那么，可知公式 (9) 中的  $1 + \frac{(I_i - \mu_k)(I_j - \mu_k)}{\sigma_k^2 + \epsilon}$  会非常小，意味着  $i$  点处的内容不会被  $j$  点处的内容平均掉。且  $1 + \frac{(I_i - \mu_k)(I_l - \mu_k)}{\sigma_k^2 + \epsilon}$  值比较大，也就是相近的强边信息会被保留。

当  $\sigma_k^2$  趋近于 0 时，会导致公式 (9) 中的所有  $1 + \frac{(I_i - \mu_k)(I_j - \mu_k)}{\sigma_k^2 + \epsilon}$  都接近于 1，那么就相当于低通滤波。

### 五 引导滤波的保梯度性

引导滤波可以避免梯度反转现象，比如对于下面的信号增强例子，黑色是输入信号，红色是保边平滑输出，用于作为基信号，基信号和输入信号的差作为细节层信号（蓝色）。蓝色信号被放大以增强细节。增强信号（绿色）是增强的细节层和基信号的组合。



由图可知，增强后的信号出现了梯度反转的现象，这种现象会在边缘处比较常见。因为在靠近边缘时，原本应该低的值会被高斯滤波器拉高，比较高的值会被高斯滤波器拉低（本质在于双边滤波的保边性没有那么好）。

而对于引导滤波，由于在边缘处  $\nabla q \approx \bar{a} \nabla I$

## 六 与 Matting Laplacian Matrix 之间的关系

引导滤波不但可以用于平滑算子，还与 matting Laplacian matrix（可以参考去雾算法）有关，这就带来了新的应用（比如 matting 和去雾算法）。

$$E(\alpha) = (\alpha - \beta)^T \Lambda (\alpha - \beta) + \alpha^T L \alpha, \quad (10)$$

$$L_{ij} = |\omega| (\delta_{ij} - W_{ij}), \quad (12)$$

$$L_{ij} = \sum_{k:(i,j) \in \omega_k} \left( \delta_{ij} - \frac{1}{|\omega|} \left( 1 + \frac{(I_i - \mu_k)(I_j - \mu_k)}{\sigma_k^2 + \epsilon} \right) \right). \quad (11)$$

在 matting 中，公式 (10) 中的  $L$  叫做 matting Laplacian 矩阵， $L$  大小是  $N \times N$  的（ $N$  是图像像素数），每个元素的定义如公式 (11)； $\beta$  是 trimap（在去雾中，就是细化前的暗通道图）。比较一下公式 (11) 和公式 (9)，可以看到 matting Laplacian 矩阵可以写成公式 (12) 的形式，附加材料中证明，引导滤波器是优化过程的一次 Jacobi 迭代，如果  $\beta$  是一个 matting 的比较好的猜测（比如在去雾中的暗通道图就是比较好的猜测，而 matting 中的涂鸦就是不太好的猜测），那么我们可以运行一步 Jacobi 过程（在去雾中，就是用原图对暗通道图进行滤波）：

$$\alpha_i \approx \sum_j W_{i,j}(I) \beta_j$$

## 七 扩展到 RGB 空间

引导滤波算法是  $O(N)$  量级的（至于为什么它是  $O(N)$  量级的，有些人可能不理解，觉得它既然有个窗口，那么窗口越大不就意味着每个像素要求平均的区域就得越大吗？实际上它的实现是借助了 box 滤波器，这是一种用空间换取时间效率的线性时间滤波器），意味着它的滤波跟窗口半径  $r$  没有关系，可以用任意大的窗口进行滤波。

为了去泛化彩色引导图，重新局部线性模型为：

$$q_i = \mathbf{a}_k^T \mathbf{I}_i + b_k, \forall i \in \omega_k. \quad (13)$$

$$\mathbf{a}_k = (\Sigma_k + \epsilon \mathbf{U})^{-1} \left( \frac{1}{|\omega|} \sum_{i \in \omega_k} \mathbf{I}_i p_i - \mu_k \bar{p}_k \right) \quad (14)$$

$$b_k = \bar{p}_k - \mathbf{a}_k^T \mu_k \quad (15)$$

$$q_i = \bar{\mathbf{a}}_i^T \mathbf{I}_i + \bar{b}_i. \quad (16)$$

引导滤波器就写为公式 (14)(15)(16)。 $\mathbf{I}_i$  就变为了  $3 \times 1$  的颜色向量， $\mathbf{a}_k$  是一个  $3 \times 1$  的系数向量； $\Sigma_k$  是引导图  $\mathbf{I}$  的窗口  $\omega_k$  内的协方差矩阵， $\mathbf{U}$  是与  $\omega_k$  同样大小的单位矩阵。

很多人在实现的时候，使用自身当引导图时，就会三个通道分别计算（使用公式 (5)(6)），把三通道分别自引导来去噪，而不是整体使用彩图。但是如果用  $\mathbf{I}$  和  $\mathbf{p}$  不同，则需要使用 (14)(15)(16)。

## 八 算法流程与代码实现

算法分为两个，一是原始的引导滤波算法，二是基于下采样滤波再上采样恢复的快速算法。本文只介绍基础算法的实现，并会在《快速引导滤波》文章中介绍快速算法的实现。

### Algorithm 1. Guided Filter.

**Input:** filtering input image  $p$ , guidance image  $I$ , radius  $r$ , regularization  $\epsilon$

**Output:** filtering output  $q$ .

- 1:  $\text{mean}_I = f_{\text{mean}}(I)$   
 $\text{mean}_p = f_{\text{mean}}(p)$   
 $\text{corr}_I = f_{\text{mean}}(I * I)$   
 $\text{corr}_{Ip} = f_{\text{mean}}(I * p)$
- 2:  $\text{var}_I = \text{corr}_I - \text{mean}_I * \text{mean}_I$   
 $\text{cov}_{Ip} = \text{corr}_{Ip} - \text{mean}_I * \text{mean}_p$
- 3:  $a = \text{cov}_{Ip} / (\text{var}_I + \epsilon)$   
 $b = \text{mean}_p - a * \text{mean}_I$
- 4:  $\text{mean}_a = f_{\text{mean}}(a)$   
 $\text{mean}_b = f_{\text{mean}}(b)$
- 5:  $q = \text{mean}_a * I + \text{mean}_b$

/\*  $f_{\text{mean}}$  is a mean filter with a wide variety of  $O(N)$  time methods. \*/

### Algorithm 2 Fast Guided Filter.

- 1:  $I' = f_{\text{subsample}}(I, s)$   
 $p' = f_{\text{subsample}}(p, s)$   
 $r' = r/s$
- 2:  $\text{mean}_{I'} = f_{\text{mean}}(I', r')$   
 $\text{mean}_{p'} = f_{\text{mean}}(p', r')$   
 $\text{corr}_{I'} = f_{\text{mean}}(I' * I', r')$   
 $\text{corr}_{I'p'} = f_{\text{mean}}(I' * p', r')$
- 3:  $\text{var}_{I'} = \text{corr}_{I'} - \text{mean}_{I'} * \text{mean}_{I'}$   
 $\text{cov}_{I'p'} = \text{corr}_{I'p'} - \text{mean}_{I'} * \text{mean}_{p'}$
- 4:  $a = \text{cov}_{I'p'} / (\text{var}_{I'} + \epsilon)$   
 $b = \text{mean}_{p'} - a * \text{mean}_{I'}$
- 5:  $\text{mean}_a = f_{\text{mean}}(a, r')$   
 $\text{mean}_b = f_{\text{mean}}(b, r')$
- 6:  $\text{mean}_a = f_{\text{upsample}}(\text{mean}_a, s)$   
 $\text{mean}_b = f_{\text{upsample}}(\text{mean}_b, s)$
- 7:  $q = \text{mean}_a * I + \text{mean}_b$

滤波算法的实现是根据公式 (5) 和 (6) (注意公式 (9) 只是写成权重和的形式，为了做进一步分析使用)。

代码实现如下，`cv2.blur()` 就是平局滤波：

```

1 def guided_filter(I, p, win_size, eps):
2
3     mean_I = cv2.blur(I, (win_size, win_size))
4     mean_p = cv2.blur(p, (win_size, win_size))
5
6     corr_I = cv2.blur(I*I, (win_size, win_size))
7     corr_Ip = cv2.blur(I*p, (win_size, win_size))
8
9     var_I = corr_I - mean_I*mean_I
10    cov_Ip = corr_Ip - mean_I*mean_p
11
12    a = cov_Ip / (var_I + eps)
13    b = mean_p - a*mean_I
14
15    mean_a = cv2.blur(a, (win_size, win_size))
16    mean_b = cv2.blur(b, (win_size, win_size))
17
18    q = mean_a*I + mean_b
19    return q

```

其中，公式 (5) 可以写为：

$$\frac{\frac{1}{|\omega|} \sum_{i \in \omega_k} I_i p_i - \frac{1}{|\omega|} \sum_{i \in \omega_k} \mu_k \bar{p}_k}{\sigma_k^2 + \epsilon} \quad (8.1)$$

代码中的 `corr_Ip` 就对应了  $\frac{1}{|\omega|} \sum_{i \in \omega_k} I_i p_i$ ，`mean_I*mean_p` 对应于  $\frac{1}{|\omega|} \sum_{i \in \omega_k} \mu_k \bar{p}_k$ 。

## 参考文献

- [1] K. He, J. Sun, and X. Tang. Guided image filtering. In ECCV, pages 1-14. 2010.

- [2] He, Kaiming, Jian Sun, and Xiaoou Tang. "Guided image filtering." *IEEE transactions on pattern analysis and machine intelligence* 35.6 (2012): 1397-1409.